

تطابق هیدروکربنی و مقایسه ژئوشیمیایی سازند کنگان در چاههای C و B واقع در میدان گازی پارس جنوبی

پژوهشنفت

سال نوزدهم
شماره ۶۰
صفحه ۱۳۸۸، ۸۴-۱۰۳

علیرضا رجبی هرسینی* و محمود معماریانی
دانشگاه آزاد اسلامی، واحد تهران شمال
arh7248@yahoo.com

با کلاستیک - کمی کربناته تولید و در شرایطی احیایی - نیمه احیایی راسب شده‌اند. کروماتوگرام‌های برش‌های اشباع نمونه‌ها نشج-کان از عدم وجود پدیده تخریب زیستی نمونه‌های تحت مطالعه دارد. نمونه‌های میان لایه‌ای شیلی - آهکی سازند کنگان از چاه C، دارای پتانسیلی فقیر تا متوسط و نمونه‌های چاه B، پتانسیل هیدروکربنی فقیری را نشان می‌دهند. هر دو دسته نمونه‌های تحت بررسی، از نظر درجه بلوغ، در ابتدای پنجره تولید نفت (اوخر دیاژنز - اوایل کاتاژنز) قرار گرفته‌اند. میزان پختگی مواد آلی نمونه‌های چاه B اندکی بیشتر از نمونه‌های چاه C می‌باشد. آثار هیدروکربنی چاه C، خصوصیات پارافینیک - نفتینیک و نفتینیک، و نمونه‌های چاه B، پارافینیک - نفتینیک و پارافینیک را نشان می‌دهند. به نظر می‌رسد که میان لایه‌های شیلی - آهکی موجود در بخش‌هایی از سازند کنگان، سبب تولید هیدروکربن‌های موجود در ماتریکس سازند کنگان باشند.

واژه‌های کلیدی: آنالیزهای ژئوشیمیایی، تطابق، هیدروکربن، سازند کنگان، پارس جنوبی

چکیده

تطابق یعنی مقایسه ژئوشیمیایی بین هیدروکربن‌ها یا هیدروکربن‌ها با سنگ منشأ و تعیین چگونگی ارتباط ژنتیکی بین آنها که برای این منظور از ابزارها و عامل‌هایی مانند بیومارکرها و ایزوتوپ استفاده می‌شود. در مغزه‌های حفاری تهیه شده از سازند کنگان (با سن تریاس زیرین) در چاههای C و B، آثار هیدروکربنی دیده شده است که در این تحقیق از دیدگاه ژئوشیمیایی با یکدیگر مقایسه و مطابقت داده می‌شوند. برای بررسی و ارزیابی ویژگی‌های ژئوشیمیایی این هیدروکربن‌ها آنالیزهای مقدماتی (پیرولیز راک اول، استخراج و تفکیک بیتومن) و آزمایش‌های تکمیلی (کروماتوگرافی گازی و کروماتوگرافی گازی-طیفسنجی جرمی) و بررسی‌های ایزوتوپی بر روی نمونه‌های خردۀ حفاری استفاده شده است. نتایج حاصل از آنالیزهای ژئوشیمیایی نشان می‌دهند که کروزن نمونه‌ها، مخلوطی از انواع II و III بوده و مواد آلی تولید کننده هیدروکربن از محیطی دریایی همراه با اندکی ورودی از خشکی تولید شده‌اند. هیدروکربن‌های موجود در سازند کنگان از یک سنگ منشأ

گروههای متشكله آن، کروماتوگرافی گازی، کروماتوگرافی گازی، کاربونیکرید و در نهایت بررسی‌های ایزوتوپی کربن ۱۳ روی برش آسفالت نمونه‌ها.

در شکل‌های ۲ و ۳، ستون چینه‌ای چاه‌های C و B هم‌چنین موقعیت هیدرولربنی بر اساس مغزه‌های حفاری مشخص شده است. هدف از این تحقیق، ارزیابی و شناخت آثار هیدرولربنی موجود در سازند کنگان در دو چاه C و B (محتویات مخزنی یعنی گازها و کاندنسیت‌ها مد نظر نیستند) و مقایسه و تطابق آن‌ها با یکدیگر است.

پیروولیز نمونه‌ها

با روش پیروولیزی، ضمن اعمال حرارت ماده آلی در غیاب اکسیژن، هیدرولربنی تولید و آزاد شده و کمیت و کیفیت ماده آلی و نوع آن، پتانسیل باقی‌مانده نمونه و تحولات حرارتی ماده آلی، تعیین می‌شود. برای انجام این آنالیز از دستگاه پیروولیز راک-اول استفاده می‌شود [۲]. ابتدا نمونه‌های تهیه شده از مغزه‌های حفاری پودرشده و مقدار ۱۰۰ تا ۱۰۱ میلیگرم آن توسط دستگاه پیروولیز راک-اول II، مورد آنالیز مقدماتی قرار گرفت و پارامترهای TOC، T_{max} ، HI و سایر پارامترها تعیین شدند.

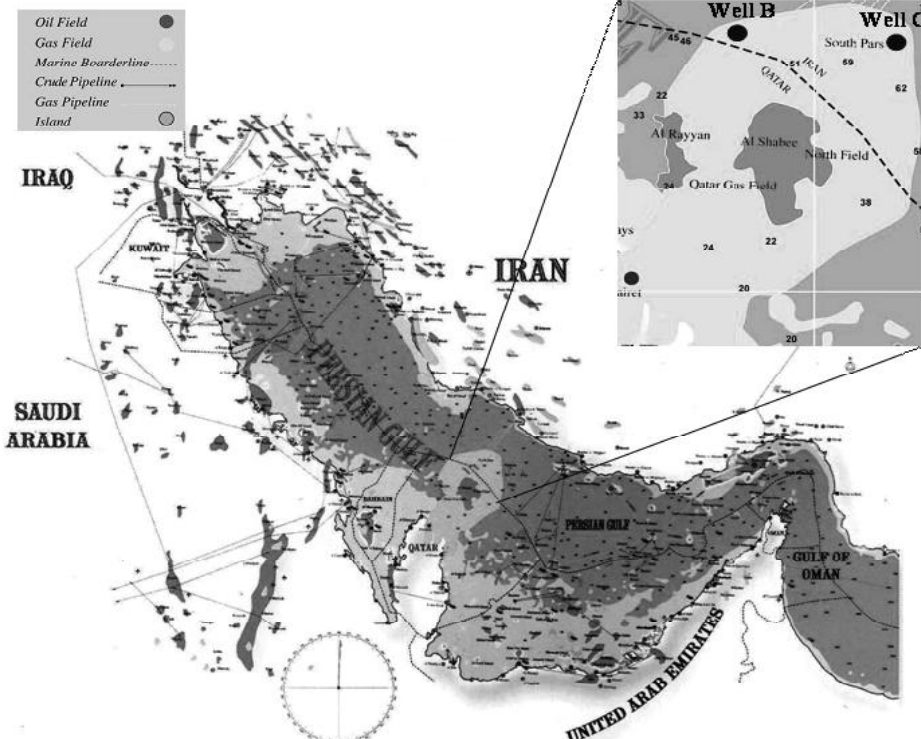
مقدمه

میدان گازی پارس جنوبی به عنوان یکی از بزرگ‌ترین میدان‌های گازی جهان، در آبهای خلیج فارس بر روی خط مرزی مشترک ایران و قطر، به فاصله ۱۰۰ کیلومتری بندر عسلویه در ساحل جنوبی ایران، ۱۰۵ کیلومتری شمال شرقی شبه‌جزیره قطر، ۳۳۰ کیلومتری شمال غربی شهر دبی واقع شده است. وسعت این میدان ۹۷۰۰ کیلومتر مربع است که سهم متعلق به ایران ۳۷۰۰ کیلومتر مربع وسعت دارد که بین طول‌های شرقی $51^{\circ} ۵۰' E$ تا $25^{\circ} ۴۰' E$ و عرض‌های شمالی $25^{\circ} ۰' N$ تا $27^{\circ} ۰' N$ قرار گرفته است (شکل ۱).

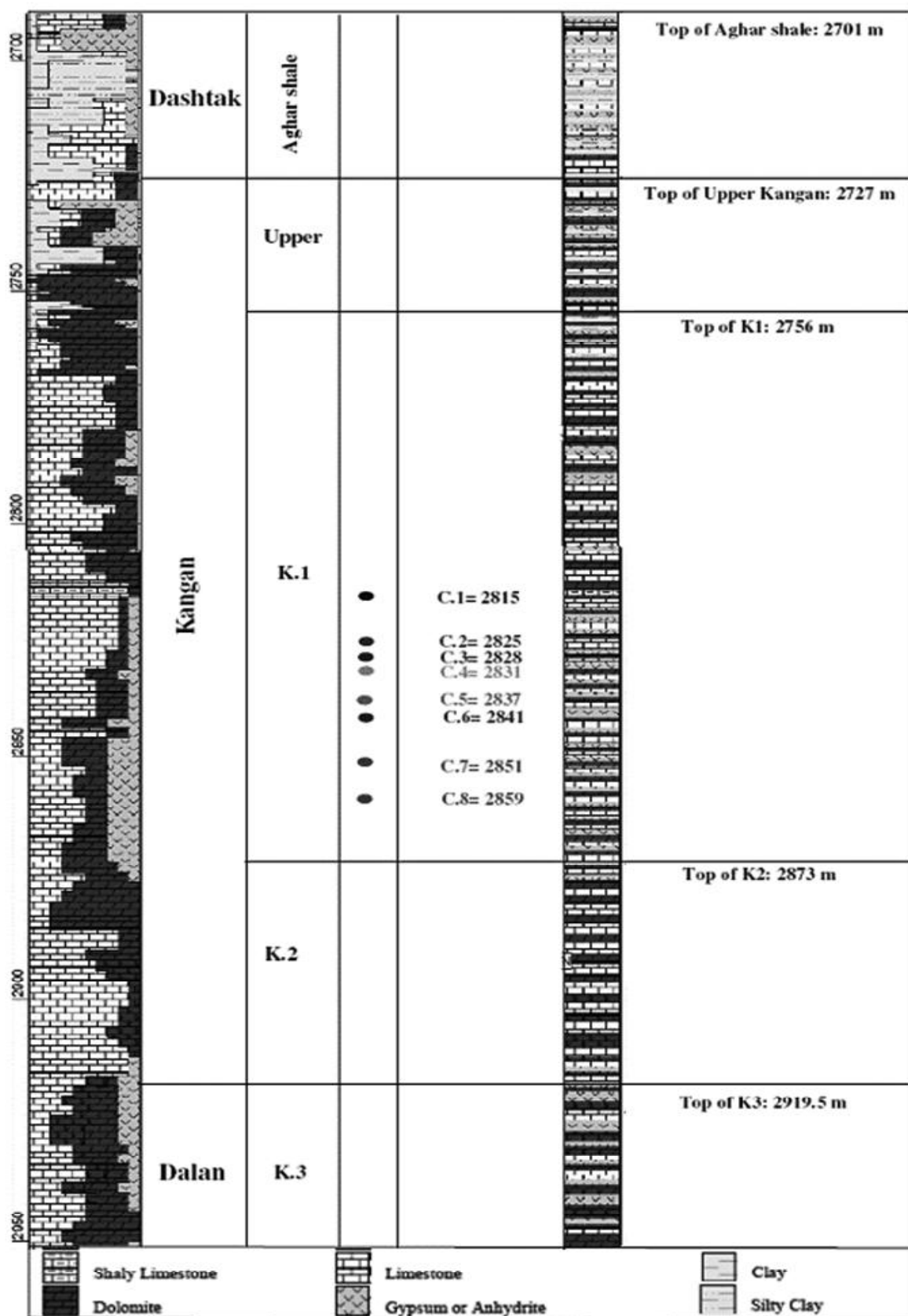
سازند کنگان با سن تریاس زیرین، ترکیب کربناته (بخش زیرین) و شیلی (بخش بالایی) و عمق متوسط ۲۱۰ متر به طور فرسایشی و هم‌شبی بر روی سازند دلان با سن پرمن (میانی-بالایی) قرار گرفته است. سازند کنگان به دو واحد مخزنی K₁ و K₂ تقسیم می‌شود [۱].

روش کار

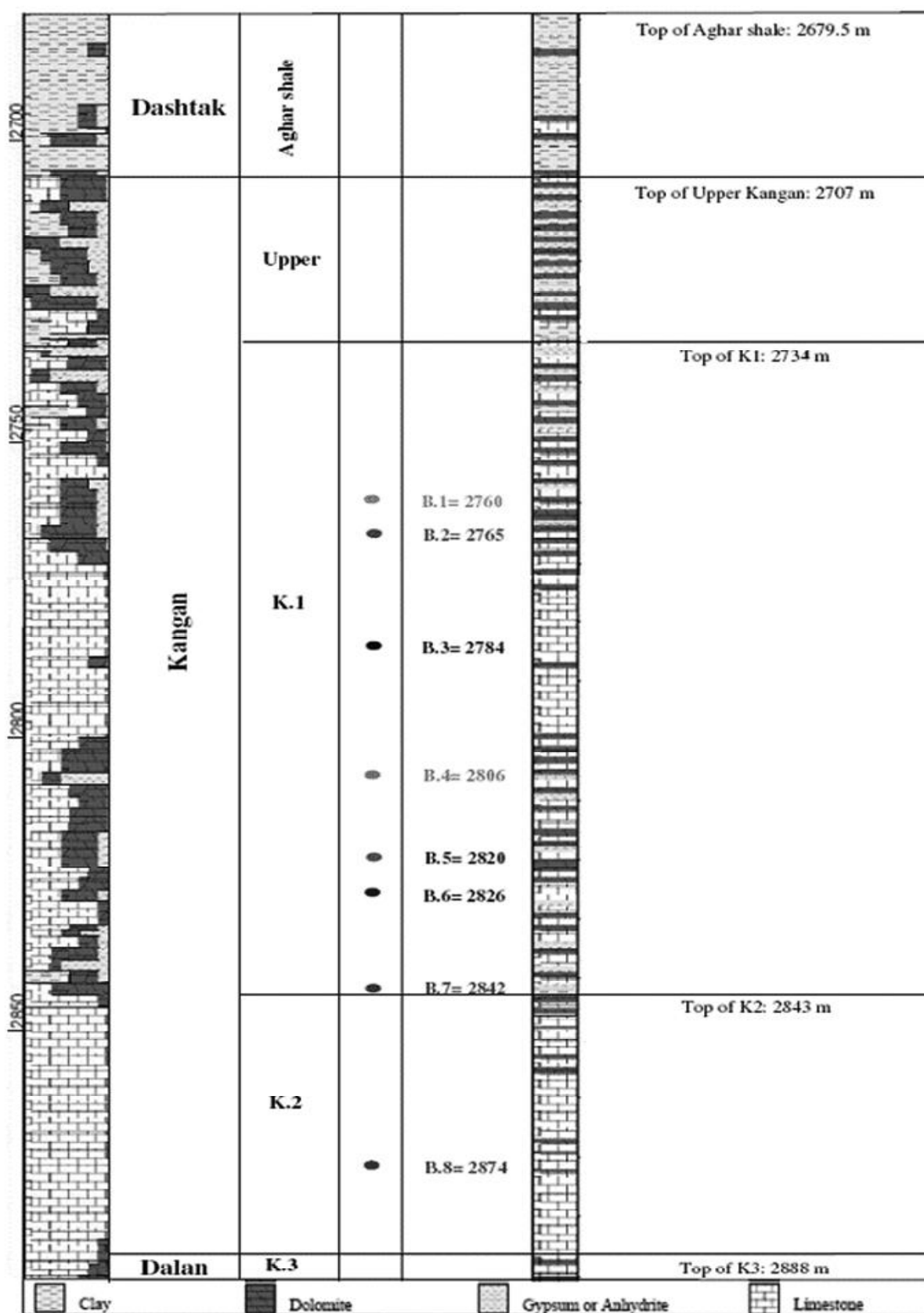
روش‌های مختلفی که در این مطالعه به کار گرفته شده است، عبارتند از: پیروولیز راک-اول^۱، استخراج بی‌تومن و جداسازی



شکل ۱- موقعیت میدان گازی پارس جنوبی در خلیج فارس و موقعیت تقریبی چاه‌های C و B (بدون مقیاس)



شکل ۲- بخشی از ستون چینه‌شناسی چاه C در میدان گازی پارس جنوبی و موقعیت نمونه‌ها برای انجام آنالیزهای ژئوشیمیایی. سازند کنگان در بخش بالایی ۲۹ متر، در بخش‌های K₁ و K₂ به ترتیب ۱۱۷ و ۴۶/۵ متر ضخامت و در مجموع سازند کنگان در چاه C، ۱۹۲/۵ متر ضخامت دارد.



شکل ۳- بخشی از ستون چینه‌شناسی چاه B در میدان گازی پارس جنوبی و موقعیت نمونه‌ها برای انجام آنالیزهای ژئوشیمیایی. سازند کنگان در بخش کنگان بالایی ۲۷ متر، در بخش‌های K₁ و K₂ به ترتیب ۱۰۹ و ۴۵ متر ضخامت و در مجموع سازند کنگان در چاه B ۱۸۱ متر ضخامت دارد.

موجود در چاه های C و B، استفاده شده است. کلیه آنالیز های ایزو توپی در دانشگاه نانسی فرانسه انجام شده است.

نتایج حاصل از آنالیز پیرو لیز راک - اول

تعداد ۱۶ نمونه از سازند کنگان در چاه های C و B انتخاب و پس از ارسال به آزمایشگاه (آزمایشگاه ژئوشیمی آلی پژوهشگاه صنعت نفت) مورد آنالیز پیرو لیز راک - اول قرار گرفتند که نتایج حاصل از آنها در جدول ۱ ارائه شده است.

بررسی نوع کروزن احتمالی

با توجه به نتایج به دست آمده از آنالیز پیرو لیز راک - اول (جدول ۱) و پارامترهای اندیس هیدرو زن (HI)، درجه حرارت حداکثر (T_{max}) و اندیس اکسیژن (OI) و با ترسیم دیاگرام های HI در مقابل T_{max} و HI در مقابل OI، می توان نوع کروزن نمونه های تحت آنالیز را تعیین کرد (شکل های ۴ و ۵) [۳]. به دلیل آنکه سازند کنگان نمی تواند به عنوان سنگ منشأ مناسبی مطرح باشد، بنابراین به نظر می رسد که تولید هیدروکربن از سنگ منشأ با کروزن های مخلوط از انواع II و III صورت گرفته است.

تعیین درجه پختگی^۱

برای تعیین درجه پختگی (میزان بلوغ) مواد آلی توسط دستگاه پیرو لیز راک - اول، با استفاده از پارامترهای T_{max} و HI، و دیاگرام HI در مقابل T_{max} ترسیم می شود [۳]. بر این اساس بلوغ نمونه های تهیه شده از چاه های C و B و به عبارتی بلوغ سنگ مادر احتمالی، هیدروکربن های تحت مطالعه در اوخر مرحله دیاژنز و ابتدای مرحله کاتاترنس (شروع پنجره نفت زایی) می باشد.

یکی دیگر از راه های تعیین درجه بلوغ مواد آلی، استفاده از پارامترهای S_2 و TOC (کربن آلی کل) حاصل از آنالیز پیرو لیز راک - اول و ترسیم دیاگرام S_2 در مقابل TOC است [۴]. کاربرد این دیاگرام در حالت کلی برای تعیین میزان کربن مرده^۲ می باشد که در پی افزایش بلوغ مواد آلی، میزان کربن مرده افزایش می یابد.

1. Maturity
2. Residual Carbon

جدا سازی و تفکیک مواد آلی

برای استخراج بیتومن از مغزه های حفاری، ۳۰ تا ۴۰ گرم نمونه تهیه و توسط دستگاه سوکسله و با به کار بردن حلال دی کلرومتان عمل استخراج انجام شد. پس از خشک کردن، مواد آلی استخراج شد و نمونه مورد جدایش آسفالت ن قرار گرفت و باقی مانده نمونه ها به وسیله روش کروماتوگرافی ستونی برای جمع آوری برش های ترکیبات اشباع، آروماتیک و رزین مورد تفکیک قرار گرفت. برش اشباع نمونه ها در ادامه کار به وسیله کروماتوگرافی گازی و کروماتوگرافی گازی - طیف سنجی جرمی مورد آزمایش قرار گرفتند. امروزه توسط تکنیک کروماتوگرافی گازی می توان به بررسی توزیع الکان های نرمال و ایزو پرونوییده ها و با کروماتوگرافی گازی - طیف سنجی جرمی به مطالعه بیومارکرها و تعیین درجه پختگی ماده آلی یا نفت پرداخت.

شرایط دستگاهی

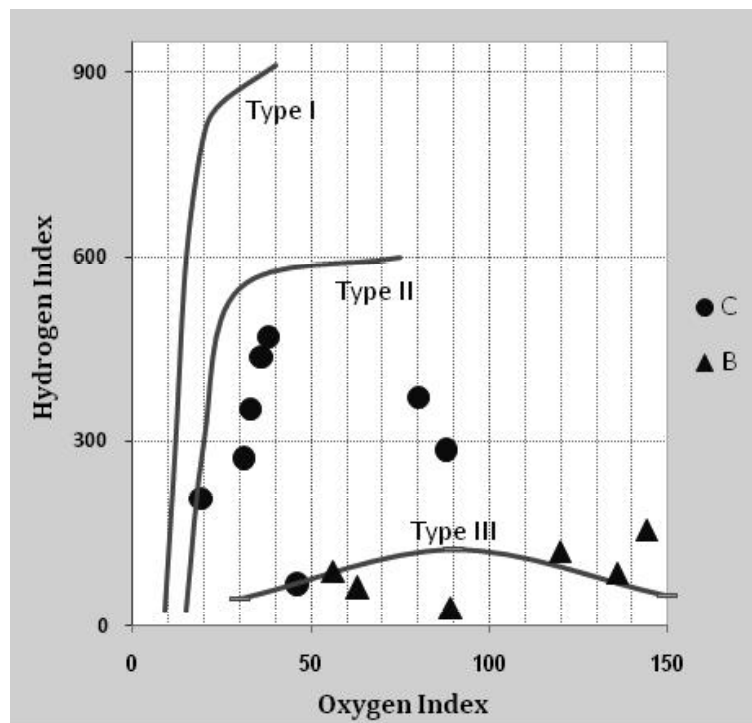
کروماتوگرافی گازی از نوع Chrompack-CP-9000 بوده و دمای اولیه آون ۶۰ °C و دمای نهایی ۲۷۰ °C، افزایش دما ۴ درجه بر دقیقه، گاز حامل هلیم، نوع ستون موئینه از نوع ۵ CP-Sil-5 به طول ۲۵ متر و مقدار تزریق نمونه ۰/۲ میکرو لیتر مورد استفاده قرار گرفت. همچنین، کروماتوگراف گازی - طیف سنج جرمی، که نوع کروماتوگراف گازی از مدل Varian-3400، نوع ستون ۱-DB به طول ۲۵ متر، گاز حامل هلیم، دمای اولیه آون ۵۰ °C و دمای نهایی ۲۵۰ °C (ایزو ترمال در این دما به مدت ۲۰ دقیقه)، افزایش دما ۴ درجه بر دقیقه. نوع طیف سنج جرمی از نوع کوادرابل ۵۰ Incos-50، دمای منبع ۲۰۰ °C، سیستم خلاء (Turbo-molecularpumps)، دمای EI، دمای رابط ۲۸۰ °C، نرخ پایش ۱ sec/decade و جریان فیلامن ۱۰ ev به کار گرفته شد.

بررسی های ایزو توپی

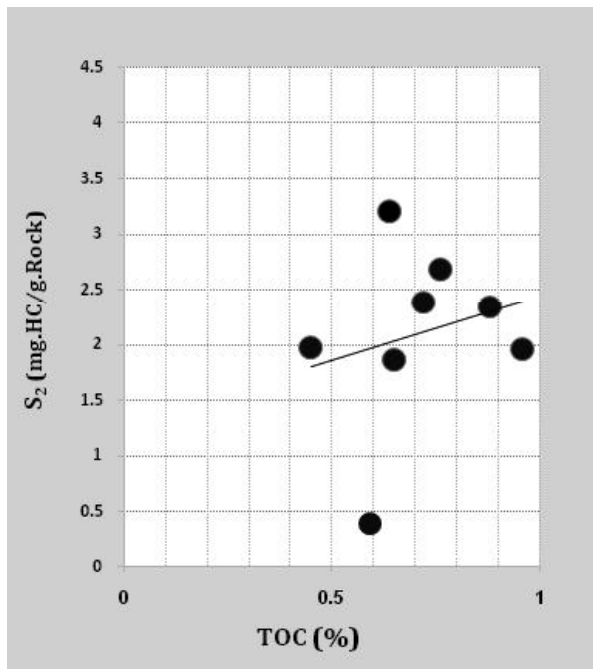
امروزه استفاده از ایزو توپ های پایدار در علم ژئوشیمی آلی جایگاه خاصی پیدا کرده است که در این مطالعه از ایزو توپ پایدار کربن ۱۳ بر روی برش های آسفالت جدا سازی شده از بیتومن، به منظور تعیین سن تقریبی زمین شناسی مواد آلی، مقایسه و تطابق آثار هیدروکربنی

جدول ۱- نتایج حاصل از آنالیز پرولیز راک- اول نمونه‌های تهیه شده از چاههای C و B

TOC %	PI	OI	T _{max}	HI	S ₃	S ₂	S ₁	(m)	نام نمونه
۰/۷۶	۰/۳	۳۳	۴۲۹	۳۵۳	۰/۲۵	۲/۶۸	۱/۱۶	۲۸۱۵/۴	C.1
۰/۶۰	۰/۰۸	۸۸	۴۲۶	۲۸۶	۰/۰۷	۱/۸۶	۰/۱۶	۲۸۲۵	C.2
۰/۴۵	۰/۰۶	۳۶	۴۲۶	۴۳۸	۰/۱۶	۱/۹۷	۰/۱۲	۲۸۲۸	C.3
۰/۷۲	۰/۰۶	۳۸	۴۲۶	۴۷۱	۰/۲۷	۲/۳۹	۰/۲۳	۲۸۳۱/۳	C.4
۰/۸۸	۰/۳۴	۳۱	۴۲۵	۲۷۳	۰/۰۷	۲/۳۴	۰/۰۳	۲۸۳۷	C.5
۰/۶۴	۰/۱	۸۰	۴۲۸	۳۷۱	۰/۰۱	۳/۲۱	۱/۶۶	۲۸۴۱	C.6
۰/۹۶	۰/۱۷	۱۹	۴۲۶	۲۰۷	۰/۲۷	۱/۹۶	۰/۶	۲۸۵۱	C.7
۰/۰۹	۰/۳۳	۴۶	۴۲۵	۶۸	۰/۲۷	۰/۴	۰/۲	۲۸۵۸/۹	C.8
۰/۲۵	۰/۱۵	۱۴۴	۴۲۹	۱۵۶	۰/۳۶	۰/۳۹	۰/۰۷	۲۷۶۰	B.1
۰/۱۹	۰/۷۴	۶۳	۴۲۶	۶۳	۰/۱۲	۰/۱۲	۰/۳۴	۲۷۶۵/۳	B.2
۰/۱۵	۰/۵	۴۷	۴۲۸	۱۲۰	۰/۰۷	۰/۱۸	۰/۱۸	۲۷۸۴/۵	B.3
۰/۱۷	۰/۸	۲۵۹	۴۲۷	۱۸	۰/۴۴	۰/۰۳	۰/۱۲	۲۸۰۶/۵	B.4
۰/۰۹	۰/۸۲	۸۹	۴۲۲	۲۹	۰/۰۸	۰/۰۳	۰/۱۲	۲۸۲۰/۵	B.5
۰/۰۹	۰/۰۳	۵۶	۴۲۹	۸۹	۰/۰۵	۰/۰۸	۰/۰۹	۲۸۲۶	B.6
۰/۱۴	۰/۰۹	۱۳۶	۴۲۵	۸۶	۰/۱۹	۰/۱۲	۰/۱۷	۲۸۴۲/۵	B.7
۰/۱۵	۰/۷۳	۲۱۳	۴۲۳	۲۵	۰/۳۲	۰/۰۴	۰/۱	۲۸۷۴/۵	B.8



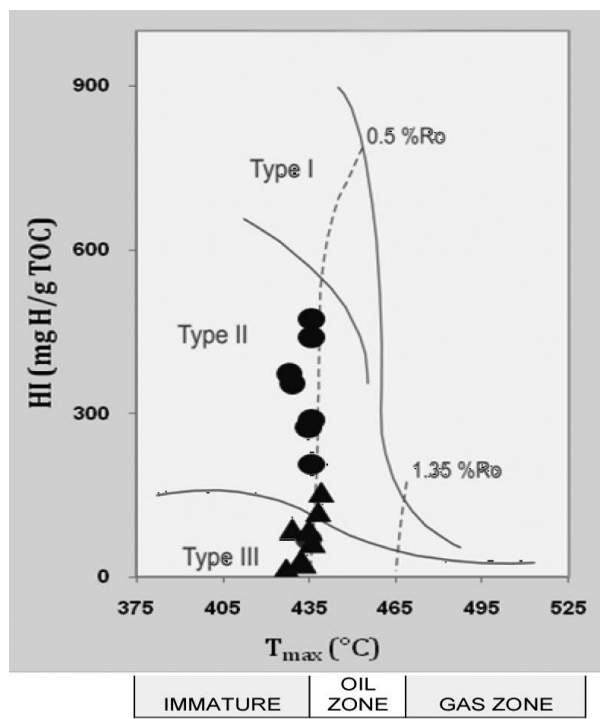
شکل ۴- دیاگرام HI در مقابل OI



شکل ۶- دیاگرام S_2 در مقابل TOC برای تعیین میزان کربن مرده (میزان بلوغ) نمونه های چاه C

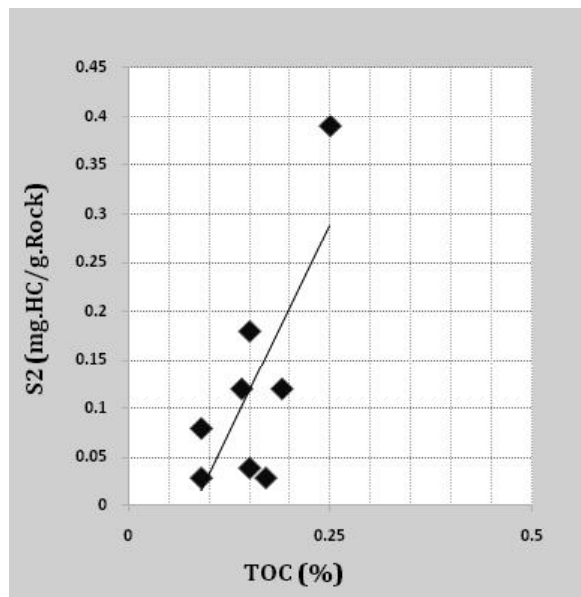
۰/۰۸ درصد قطع می کند که این مقدار، متوسط میزان آثار و بقایای بیتومن های اولیه مهاجرت کرده است که در لابه لای ماتریکس سازند کنگان رسوب کرده اند که کربن مرده واقعی نیستند چون اگر کربن مرده واقعی بودند، بایستی میزان T_{max} نمونه ها بالا بود و میزان T_{max} نمونه ها، محدوده شروع پنجره تولید نفت را نشان می دهد، پس پیروبیتومن هایی (بیتومن های سوخته) کاذب هستند که در ضمن مهاجرت در ماتریکس سازند کنگان در چاه B باقی مانده اند.

تعیین پتانسیل هیدروکربنی احتمالی سازند کنگان
بر اساس پارامترهای I (هیدروکربن های سیال تولید شده)، S_2 (توان هیدروکربن زایی)، TOC (غنج کل کربن آلی) و شاخص پتانسیل تولید $S_2 = S_1 + S_2$ (Genetic Potential) (که این شاخص برای ارزیابی توان هیدروکربنی باقی مانده در سنگ مادر استفاده می شود) و با ترسیم شاخص پتانسیل تولید در مقابل مقادیر TOC (%)، می توان سنگ منشأ احتمالی را از نظر کیفیت درجه بندی کرد. بر این اساس لایه کنگان در محدوده چاه C، از لحاظ درجه بندی و توان هیدروکربنی ضعیف (فقیر) تا متوسط، در محدوده چاه B از نظر درجه بندی و توان هیدروکربنی ضعیف (فقیر) می باشد (شکل ۷).



شکل ۵- دیاگرام HI در مقابل Tmax

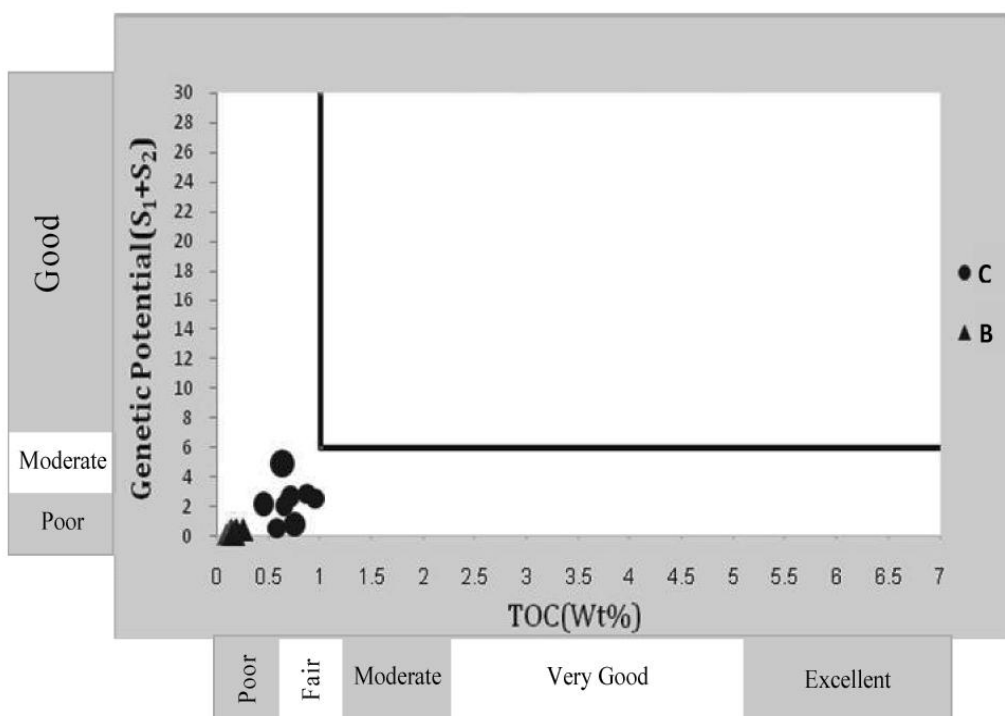
در نمونه های چاه C، بر اساس دیاگرام ترسیم شده (شکل ۶)، اگر خط رسم شده را ادامه دهیم محور TOC را قطع نمی کند، بنابراین عدم حضور کربن مرده در نمونه ها و در نتیجه بلوغ مناسب نمونه ها (شروع پنجره نفت زایی) را تأیید می کند. در دیاگرام ترسیم شده برای نمونه های چاه B (شکل ۷)، امتداد خط ترسیم شده، محور TOC را در نقطه



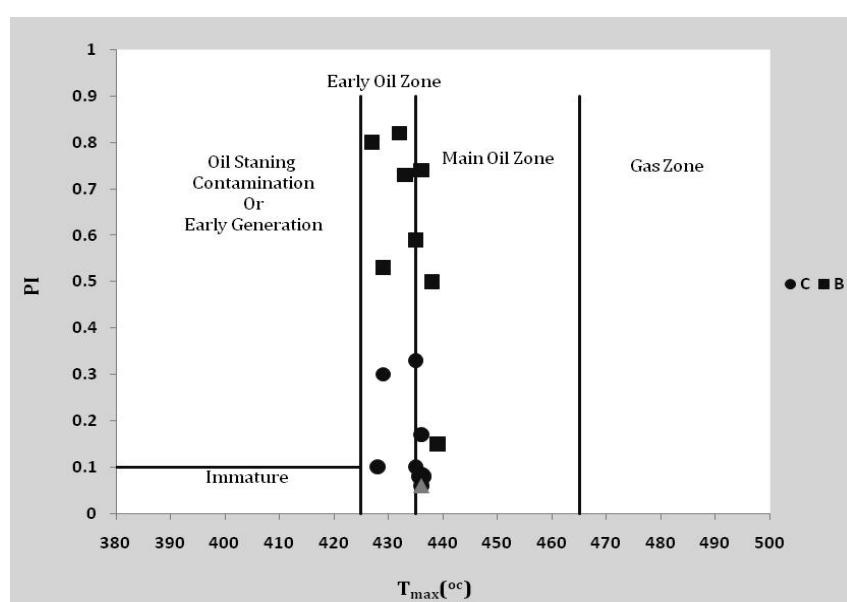
شکل ۷- دیاگرام S_2 در مقابل TOC برای تعیین میزان کربن مرده (میزان بلوغ) نمونه های چاه B

نمونه‌ها در محدوده شروع پنجره نفت‌زایی^۱ قرار می‌گیرند (شکل ۹). همچنین مقدار PI بالاتر از $0.4 / ۰.۴$ ، معرف آلدگی‌های نمونه‌های تحت مطالعه با مواد آلی زایش شده از سنگ مادرهای احتمالی بوده که ضمن

یکی از روش‌های تعیین میزان پتانسیل هیدروکربنی نمونه‌ها و میزان بلوغ آن، ترسیم دیاگرام حاصل از پارامترهای T_{max} و شاخص تولید (PI) به صورت PI در مقابل T_{max} است. با ترسیم دیاگرام برای نمونه‌های چاههای C و B،



شکل ۸- دیاگرام $S_1 + S_2$ در مقابل TOC ترسیم شده برای نمونه‌های چاههای C و B



شکل ۹- دیاگرام PI در مقابل T_{max} برای نمونه‌های چاههای C و B

1. Main Oil Zone-Early Oil Zone

موجود در مغزه‌های نمونه‌های تهیه شده از چاه C، خصوصیاتی پارافینیک-نفتینیک و نفتینیک و نمونه‌های چاه B، پارافینیک-نفتینیک و پارافینیک را نشان می‌دهند (شکل ۱۱) [۵].

پس از تفکیک ترکیبات استخراج شده از نمونه‌ها (ترکیبات اشباع، آروماتیک، رزین و آسفالتن)، برای انجام آنالیزهای تکمیلی و تعیین پارامترهای گوناگون ترکیبات اشباع از روش کروماتوگرافی گازی و برای تعیین و شناسایی انواع بیومارکرهای از روش کروماتوگرافی گازی-طیفسنجی جرمی استفاده شد.

روش کروماتوگرافی گازی (GC)

نتایج حاصل از کروماتوگرافی گازی ترکیبات اشباع نمونه‌های چاه‌های C و B، در جدول ۳ آورده شده است. طیف‌های GC به دست آمده از آنالیز نمونه‌ها در پیوست ارائه گردیده است.

مهاجرت به این منطقه وارد شده و مقادیر کاذب و بالای PI را ایجاد کرده‌اند که این حالت در نمونه‌های چاه B بیشتر دیده می‌شود (شکل ۹).

استخراج مواد آلی

تعداد ۳ نمونه از چاه C و ۴ نمونه از چاه B، برای آنالیزهای شیمیایی و آنالیزهای تکمیلی انتخاب شدند. پس از تفکیک بیتومن از نمونه، و سپس رسوب دادن آسفالتن و انجام کروماتوگرافی ستونی، برش‌های مختلف تعیین درصد شدند که نتایج آن در جدول ۲ مشاهده می‌شوند. فراوانی ترکیبات اشباع، آروماتیک و رزین در نمونه‌های چاه‌های C و B، در شکل ۱۰ آمده است.

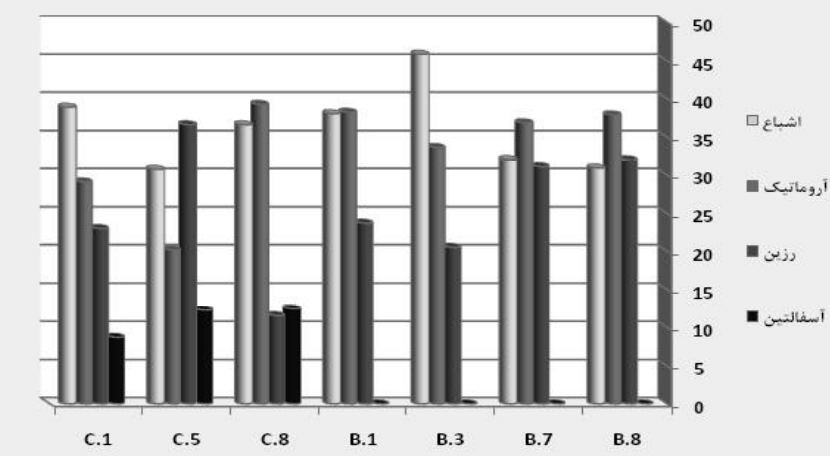
کیفیت هیدروکربنی

بر اساس دیاگرام مثلثی آثار و بقایای مواد هیدروکربنی

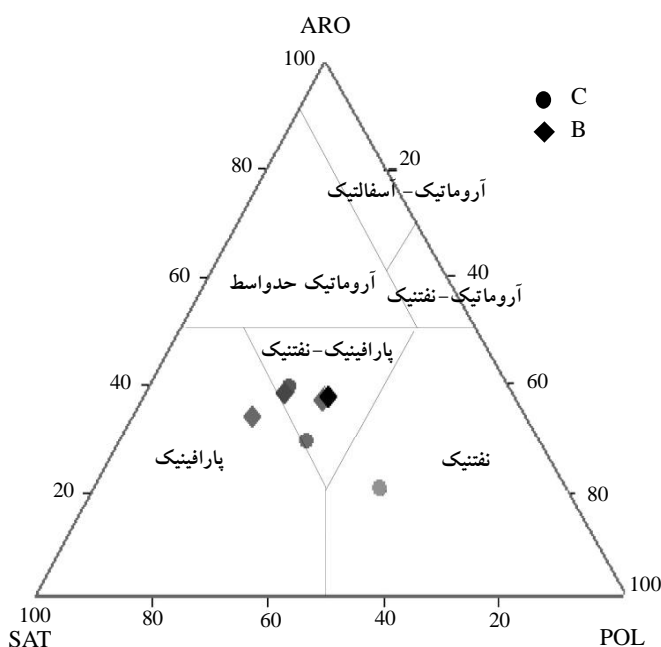
جدول ۲- جدول مربوط به درصد مواد آلی استخراج شده و درصد ترکیبات شیمیایی حاصل از تخلیص نمونه‌ها

نام نمونه	عمق (m)	اشباع (درصد)	آروماتیک (درصد)	رزین (درصد)	آسفالتن (درصد)	قطبی (درصد)
C.1	۲۸۱۵/۴	۳۸/۸۷	۲۹/۰۹	۲۳/۰۴	۸/۷۴	۳۱/۷۸
C.5	۲۸۳۷	۳۰/۷۲	۲۰/۱۸	۳۶/۶	۱۲/۳	۴۸/۹
C.8	۲۸۵۸/۹	۳۶/۵۹	۳۹/۲۴	۱۱/۵۷	۱۲/۴۸	۲۴/۰۵
B.1	۲۷۶۰	۳۸/۰۳	۳۸/۲۲	۲۳/۷۴	مقدار ناچیز	۲۳/۷۴
B.3	۲۷۸۴/۵	۴۵/۸۴	۳۳/۶۴	۲۰/۵	مقدار ناچیز	۲۰/۵
B.7	۲۸۴۲/۵	۳۲/۰۷	۳۶/۸۴	۳۱/۰۸	مقدار ناچیز	۳۱/۰۸
B.8	۲۸۷۴/۵	۳۰/۹	۳۷/۸۶	۳۲/۰۳	مقدار ناچیز	۳۲/۰۳

برش‌های هیدروکربنی نمونه‌های تهیه شده از چاه‌های B و C



شکل ۱۰- فراوانی درصد ترکیبات اشباع، آروماتیک و رزین در نمونه‌های چاه‌های C و B



شکل ۱۱- دیاگرام مثلثی ترسیم شده برای نمونه‌های تهیه شده از چاههای C و B

جدول ۳- نتایج حاصل از کروماتوگرام‌های ترکیبات اشباع در نمونه‌های چاههای C و B

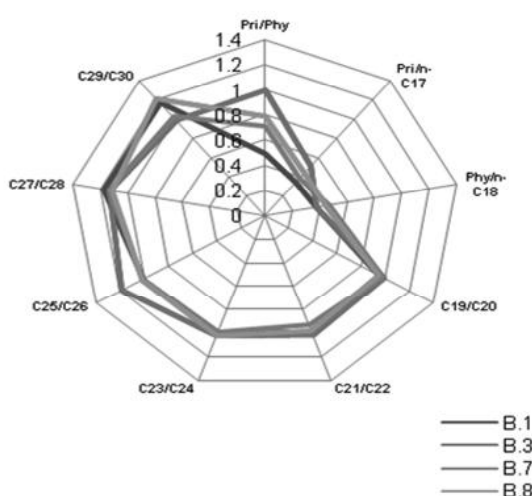
GC Summary				عمق (m)	نام نمونه
Phy/n-C ₁₈	Pri/n-C ₁₇	Pri/Phy	CPI		
۰/۴۴	۰/۴۹	۰/۶۹	۱/۰۲	۲۸۱۵/۴	C.1
۰/۴۹	۰/۴۱	۰/۷۵	۰/۹۹	۲۸۳۷	C.5
۰/۴۵	۰/۴۴	۰/۷۹	۱/۰۲	۲۸۵۸/۹	C.8
۰/۳۸	۰/۳۴	۰/۴۹	۱/۱۳	۲۷۶۰	B.1
۰/۳۸	۰/۵۱	۱	۱/۰۵	۲۷۸۴/۵	B.3
۰/۴۶	۰/۳۸	۰/۷۱	۱/۰۱	۲۸۴۲/۵	B.7
۰/۴۵	۰/۴۴	۰/۷۹	۰/۹۵	۲۸۷۴/۵	B.8

و $n\text{-C}_{17}$ و Pri/Phy و Pri/n-C_{18} مقایسه توزیع پراکندگی این نسبت‌ها، می‌توان چگونگی توزیع هیدروکربن‌های اشباع را در نمونه‌ها ترسیم و کیفیت آنها را مقایسه کرد. الگوی توزیع آلکان‌های نرمال در نمونه‌های چاه C در دیاگرام ستاره‌ای به صورت توزیع نرمال و همگن می‌باشد و معرف این است که هیدروکربن‌های موجود در این لایه علیرغم داشتن اختلاف عمق بیش از ۴۰ متر، یکسان می‌باشند (شکل ۱۲). در مورد نمونه‌های چاه B نیز برداشتی مشابه حاصل می‌شود (شکل ۱۳)، اگر چه کمی اختلاف در نسبت‌ها دیده می‌شود، اما روند کلی و الگوی توزیع آلکان‌های نرمال در نمونه‌های چاه B و C، مشابه یکدیگر و نرمال می‌باشد و به نظر می‌رسد که دارای یک

منشأ مواد آلی و وضعیت محیط رسوبی
برای تعیین منشأ مواد آلی (کروزن) و وضعیت محیط رسوب‌گذاری با استفاده از روش GC، توسط پارامترهای Pri/n-C_{17} و Pri/Phy و Phy/n-C_{18} ، Phy/n-C_{18} می‌توان دیاگرام Phy/n-C_{18} در مقابل Pri/n-C_{17} و دیاگرام ستاره‌ای را ترسیم کرد.

دیاگرام ستاره‌ای
به منظور تشخیص یکسان یا متفاوت بودن خصوصیات سنگ منشأ احتمالی و هیدروکربن‌ها، از دیاگرام ستاره‌ای استفاده می‌شود [۶]. در این دیاگرام با استفاده از نسبت Phy/n-C_{18} آلکان‌های فرد به زوج در کنار نسبت‌های

Star Diagram (B)



شکل ۱۳- دیاگرام ستاره‌ای نمونه‌های چاه

$m/z=191$ و استران‌ها با جرم مولکولی پایه $m/z=217$ در نمونه‌های چاه‌های C و B، در پیوست ارائه شده است. هم‌چنین نتایج حاصل در جدول ۴، ارائه شده است.

وضعیت محیط رسوی، لیتولوژی مولد

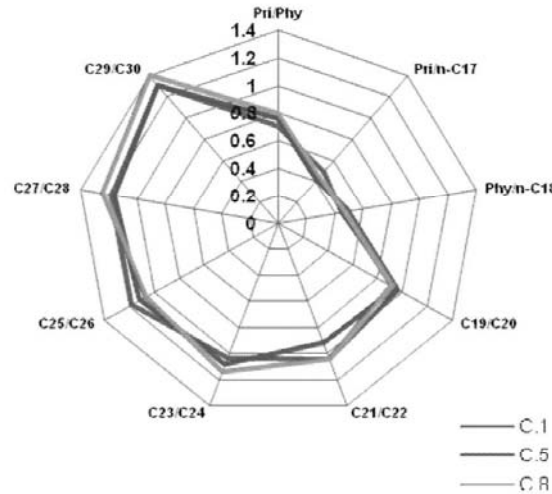
براساس نتایج حاصل از GC-MS نمونه‌های چاه‌های C و B (جدول ۴)، توسط نسبت‌های C_{34}/C_{35} هوموهوپان‌ها و C_{29}/C_{30} هوپان‌ها، دیاگرام C_{34}/C_{35} در مقابل C_{29}/C_{30} به منظور تعیین لیتولوژی و احیایی بودن محیط برای نمونه‌های تحت مطالعه، ترسیم شد (شکل ۱۵) [۸۴]. بر این اساس نسبت C_{34}/C_{35} هوموهوپان‌ها حدود ۱ بوده که در محیطی احیایی-نیمه‌احیایی راسب شده‌اند و نسبت‌های C_{29}/C_{30} کمتر از ۱ است، بنابراین لیتولوژی مولد آنها کلاستیک-کمی کربناته بوده است (شکل ۱۵).

منشأ و محیط رسوی مواد آلی

دیاگرام مثلثی^۲ بر اساس توزیع استران‌های منظم با کربن‌های C_{27} ، C_{28} و C_{29} (جدول ۴)، ترسیم و برای تعیین محیط رسوی و تشخیص منشأ مواد آلی مورد استفاده قرار می‌گیرد [۹]. بر این اساس، منشأ مواد آلی نمونه‌های تحت مطالعه، بیشتر از نوع دریایی با اندکی ورودی‌هایی از خشکی می‌باشد (شکل ۱۶).

1. Biodegradation
2. Ternary Diagram

Star Diagram (C)



شکل ۱۲- دیاگرام ستاره‌ای نمونه‌های چاه C

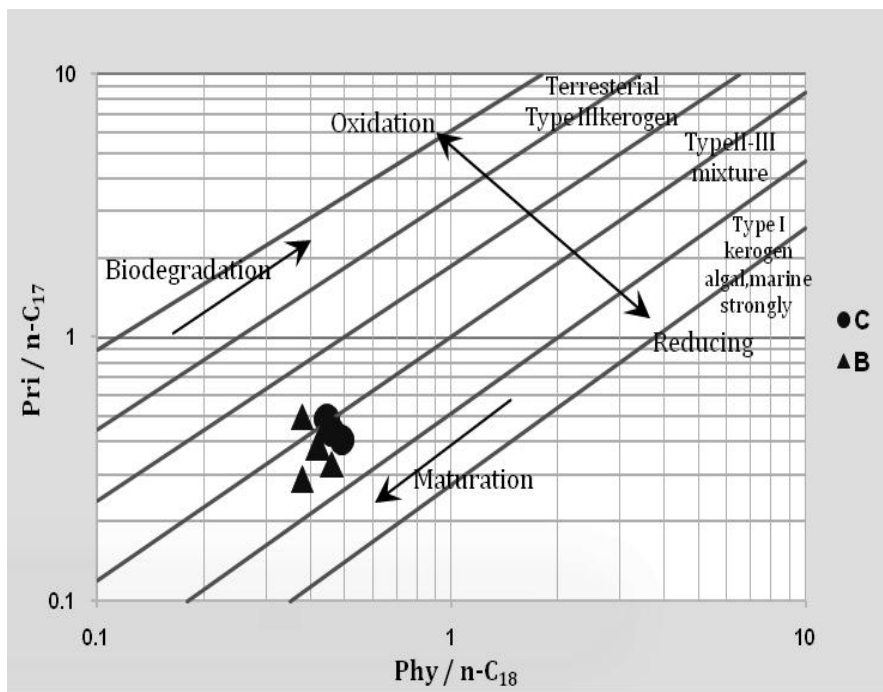
سیستم تغذیه هیدروکربنی باشند. هم‌چنین می‌توان گفت از آنجایی که نسبت پریستان به فیتان در تمامی نمونه‌ها کمتر از ۱ می‌باشد، محیط رسوب‌گذاری نمونه‌های تحت مطالعه (منظور سنگ منشأ احتمالی مولد)، محیطی احیایی-نیمه‌احیایی بوده است.

دیاگرام Pri/n-C_{17} در مقابل Phy/n-C_{18}

توسط این دیاگرام می‌توان شرایط رسوب‌گذاری، نوع مواد آلی (کروزن)، اکسیدی یا احیایی بودن محیط، درجه بلوغ نمونه‌ها و اثرات تخریب حیاتی^۱ را در نمونه‌های نفتی و سنگ‌های منشأ بررسی کرد [۷]. طبق دیاگرام ترسیم شده (شکل ۱۴)، پدیده تخریب حیاتی در نمونه‌های تحت مطالعه مشاهده نمی‌شود و بلوغ نمونه‌ها مناسب و در محدوده بلوغ در اوآخر دیاژنر-اوایل کاتاژنر (شروع پنجره تولید نفت) می‌باشد. شرایط رسوب‌گذاری نمونه‌ها در محیطی احیایی-نیمه‌احیایی (منظور سنگ مولد احتمالی) بوده است. نوع کروزن (ماده آلی) نمونه‌ها طبق دیاگرام ترسیم شده (شکل ۱۴)، اغلب مخلوطی از انواع II و III می‌باشد.

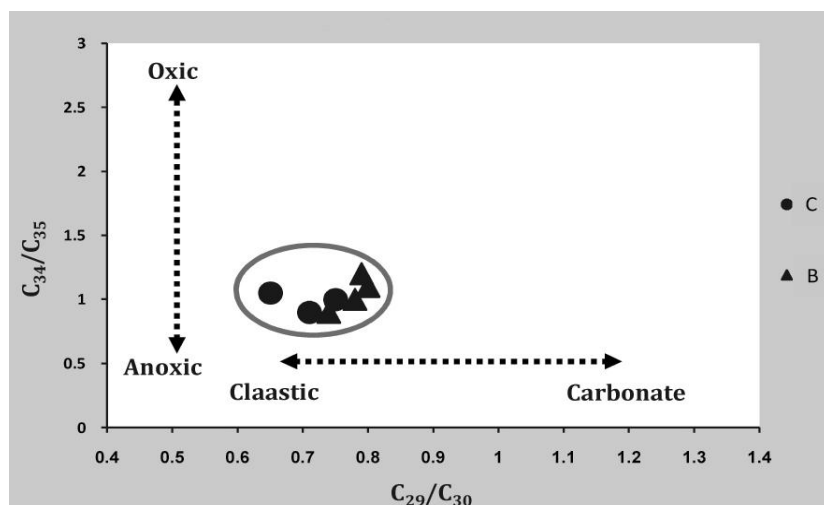
نتایج حاصل از روش کروماتوگرافی گازی-طیفسنجی جرمی

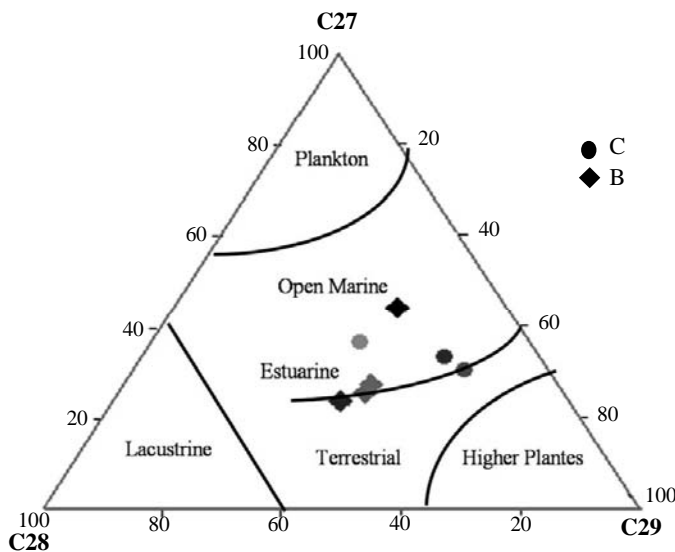
طیف‌های کروماتوگرافی گازی-طیفسنجی جرمی حاصل از بیومارکرهای هوپانی براساس جرم مولکولی پایه

شکل ۱۴- دیاگرام Pri/n-C₁₇ در مقابل Phy/n-C₁₈ برای نمونه‌های چاههای C و B

جدول ۴- نتایج حاصل از تکنیک GC-MS برای بیومارکرهای استرانها و هوپانها در نمونه‌های چاههای C و B

S/R	%C ₂₉	%C ₂₈	%C ₂₇	Ts/Ts+Tm	C ₃₄ /C ₃₅	C ₂₉ /C ₃₀	نام نمونه
۰/۳۶	۵۰/۶۹	۱۶/۵۴	۳۲/۷۷	۰/۳۸	۱	۰/۷۵	C.1
۰/۳۹	۳۵/۱۰	۲۹/۰۰	۳۶/۰۰	۰/۲۳	۰/۹	۰/۷۱	C.5
۰/۳۸	۵۵/۶۲	۱۴/۴۴	۲۹/۹۴	۰/۱۷	۱/۰۵	۰/۶۵	C.8
۰/۴۵	۳۸/۱۲	۲۸/۵	۲۳/۲۸	۰/۱۷	۱/۱	۰/۸	B.1
۰/۴۸	۴۱/۲۲	۳۳/۷۴	۲۵/۰۳	۰/۴	۱	۰/۷۸	B.3
۰/۴۷	۴۱/۴۲	۳۱/۶۸	۲۶/۸۸	۰/۳	۰/۹	۰/۷۴	B.7
۰/۴۷	۲۶/۵	۱۳/۲۴	۳۰/۷۱	۰/۳۸	۱/۲	۰/۷۹	B.8

شکل ۱۵- دیاگرام C₃₄/C₃₅ Hopane در مقابل C₂₉/C₃₀ Homohopane برای نمونه‌های چاههای C و B

شکل ۱۶- دیاگرام مثایی استرانهای منظم ($m/z=217$) نمونه‌های چاههای C و B

آنالیزهای ایزوتوپی

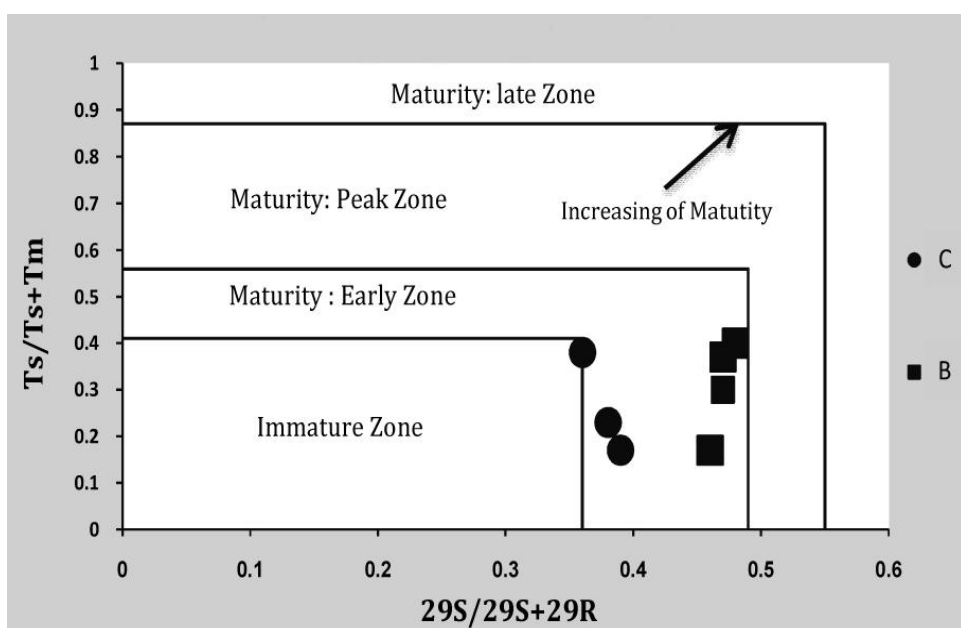
آنالیزهای ایزوتوپی ^{13}C بر روی برش آسفالت، روی ۷ نمونه تهیه شده از چاههای C و B صورت گرفت که مقادیر ایزوتوپی آنها (به صورت بخش در هزار) در جدول ۵ ارائه شده است.

همان‌طورکه در جدول ۵ دیده می‌شود، در نمونه‌های چاههای C و B مقادیر ایزوتوپی ^{13}C بین $-27/6$ تا $-28/6$ بوده، که با یکدیگر هم خوانی دارد، پس می‌توان گفت که منشأ مواد هیدروکربنی در محدوده چاههای مورد مطالعه،

بلوغ (پختگی)

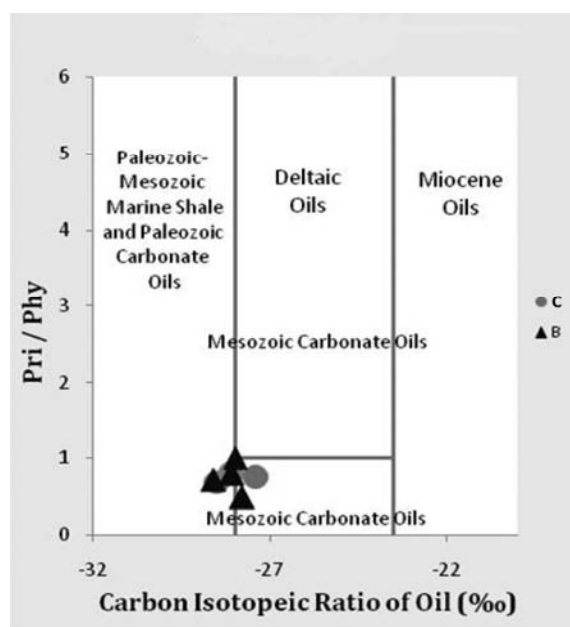
برای ارزیابی میزان بلوغ (پختگی)، با استفاده از ضریب نسبت هوپان $\text{Ts}/(\text{Ts}+\text{Tm})$ و ضریب نسبت استران منظم C_{29} دیاگرام $\text{Ts}/(\text{Ts}+\text{Tm})$ در مقابل C_{29} در مقابله $\text{Ts}/(\text{Ts}+\text{Tm})$ در مقابل $29\text{S}/(29\text{S}+29\text{R})$ ترسیم می‌شود [۸].

میزان بلوغ (درجه پختگی) نمونه‌های تحت مطالعه در محدوده شروع پنجره تولید نفت (اوخر دیاژنز-اوایلکاتاژنز) می‌باشد. گرچه نمونه‌های چاه B با اندکی تفاوت، بلوغ جزئی بالاتری را نشان می‌دهند (شکل ۱۷).

شکل ۱۷- دیاگرام $29\text{S}/(29\text{S}+29\text{R})$ در مقابل $\text{Ts}/(\text{Ts}+\text{Tm})$ نمونه‌های چاههای C و B

لیتولوژی سنگ مولد آنها پیبرد، استفاده از پارامترهای نسبت پریستان به فیتان (جدول ۳) و ایزوتوپ کربن ^{13}C (جدول ۵) به صورت ترسیم دیاگرام Pri/Phy در مقابل ^{13}C میباشد [۱۰]. براساس دیاگرام ترسیم شده برای نمونه‌های چاههای A و B، سن تریاس برای هیدروکربن‌ها و لیتولوژی مولد شیل‌های دریایی - اندکی کربناته آنها تأیید میشود (شکل ۱۹).

برای بررسی دقیق‌تر در مورد ارتباط بین لایه‌های کنگان و تداوم آن در دو طرف میدان و همچنین تشابه خواص رئوژیمیایی هیدروکربن‌های مابین چاههای C و B، از گزارشات مربوط به آنالیزهای رئوژیمیایی انجام گرفته در چاه X که مابین چاههای تحت مطالعه واقع شده، استفاده شد (شکل‌های ۲۰ و ۲۱). مقادیر ایزوتوپی حاصل از آنالیزهای ایزوتوپی ^{13}C بر روی برش آسفالتن روی ۵ نمونه از چاه X، محدوده تغییرات بین $-28/6$ تا $-29/05$ ٪ داشته که مشابه مقادیر به دست آمده از چاههای A و B میباشد. بر این اساس، محدوده تغییرات مقادیر ایزوتوپی به اندازه‌ای نیست که بتوان این اختلاف فاحش را به دو سنگ منشأ متفاوت و یا نوع مواد آلی متفاوت با چاههای C و B نسبت داد. در چاه X عمدۀ پارامترهای رئوژیمیایی شامل نسبت پریستان به فیتان حدود ۱ ($\text{Pri}/\text{Phy} \geq 1$)، وجود دیاستران با غلظت زیاد، نسبت C_{30} به C_{29} بیومارک‌های هوپان کمتر

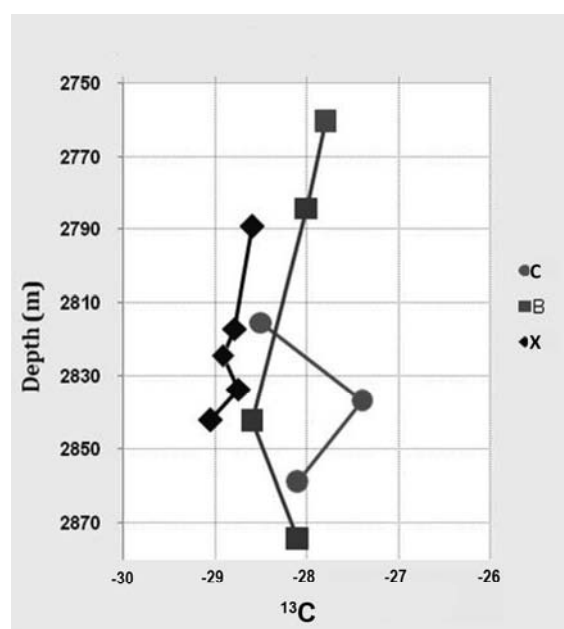


شکل ۱۹- دیاگرام Pri/Phy در مقابل ^{13}C

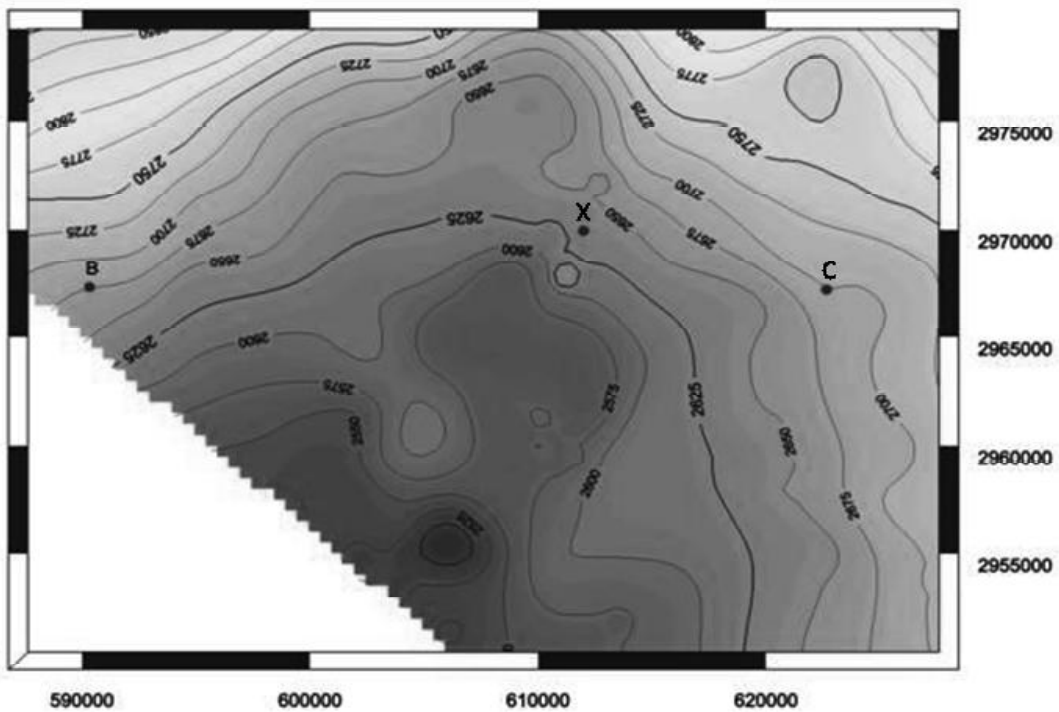
جدول ۵- مقادیر ایزوتوپی نمونه‌های چاههای C و B

نام نمونه	عمق (m)	ایزوتوپ ^{13}C (‰)
C.1	۲۸۱۵/۴	-۲۸/۵
C.5	۲۸۳۷	-۲۷/۶
C.8	۲۸۵۸/۹	-۲۸/۱
B.1	۲۷۶۰	-۲۷/۸
B.3	۲۷۸۴/۵	-۲۸
B.7	۲۸۴۲/۵	-۲۸/۶
B.8	۲۸۷۴/۵	-۲۸/۱

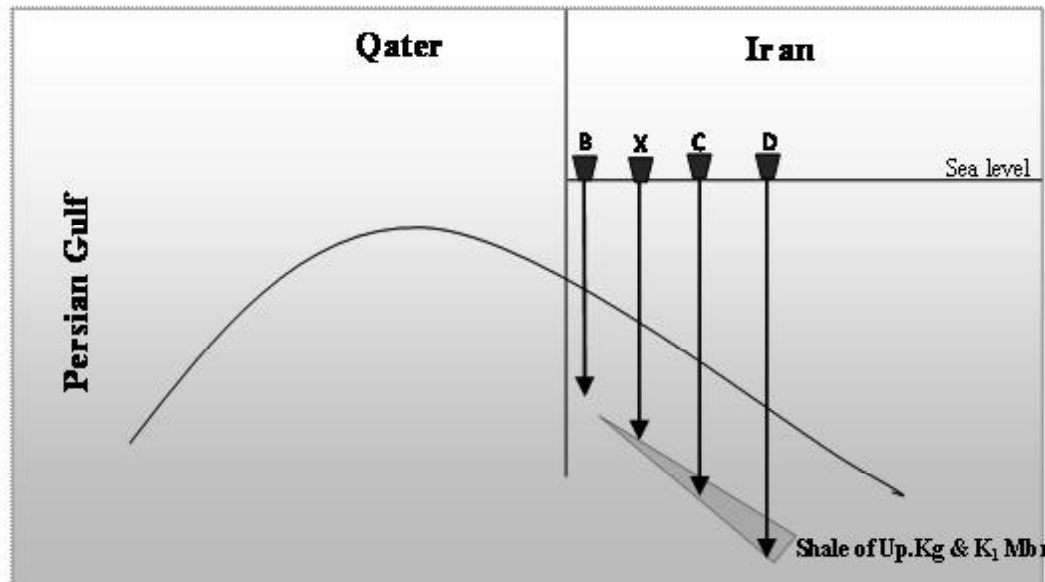
هموژن و یکسان میباشد و لایه‌های سازند کنگان در دو طرف میدان با یکدیگر ارتباط دارند. مواد هیدروکربنی مورد آنالیز در واقع آثار و بقایای موادی هستند که در سازند کنگان دیده میشوند و غیرمرتبط با هیدروکربن‌های گازی موجود در سازند کنگان هستند، زیرا مواد هیدروکربنی تحت مطالعه نسبت به گازهای موجود در مخزن کنگان از لحاظ درجه بلوغ (پختگی) متفاوت میباشند. شباهت‌های یکسان از نظر خصوصیات شیمیایی مواد آلی این سازند در دو چاه، نشان میدهد که سیستم تغذیه آنها مشابه بوده و سن تریاس را نشان میدهند. در شکل ۱۸ مقادیر ایزوتوپی ^{13}C نسبت به عمق در نمونه‌های تحت آنالیز ایزوتوپی چاههای C، B و X ارائه شده است. یکی از راههایی که توسط آن میتوان به سن تقریبی هیدروکربن‌ها و همچنین



شکل ۱۸- مقادیر ایزوتوپی ^{13}C نسبت به عمق



شکل ۲۰- موقعیت چاههای C، B و X بر روی تاب کنگان



شکل ۲۱- شکل شماتیک از ساختمان پارس جنوبی و تداوم میان لایه های احتمالی حاوی مواد آلی تولید کننده هیدروکربن در سازند کنگان

و پارافینیک می‌باشد.

- در نمونه‌های چاه C، هیچ یک از موارد و شواهد دلیلی بر وجود نابرجا بودن و مهاجرت و آلودگی به مواد هیدرورکربنی (مثلاً PI نمونه‌ها کمتر از $4/4$ بوده و مقدار پارامترهای S_2 کمتر از S_1 باشد) دیده نمی‌شود، لذا خاصیت سنگ مولد بسیار ضعیفی را نشان می‌دهند، اما نمونه‌های تهیه شده از چاه B معرف آلدگی‌های نمونه‌های تحت مطالعه با مواد آلی زایش شده از مکان دیگر می‌باشد.
- در محدوده چاه C، لایه‌ای شیلی-آهکی (Shaly-limestone) با ضخامت کم در بخش‌های بالای سازند کنگان و K_1 دیده می‌شود و نیز مطالعات انجام شده روی لاغ‌های حاصل از چندین چاه دیگر در میدان تحت مطالعه نشان می‌دهد که در بخش‌های شمالی میدان (بخش ایرانی) میان لایه‌های شیلی یا شیلی-آهکی حضور دارد که به تدریج به سمت مرز مشترک ایران- قطر از ضخامت این میان لایه‌ها کم می‌شود، در صورتی که این میان لایه‌ها حاوی مواد آلی بوده باشد و شرایط مناسب برای تولید هیدرورکربن مهیا بوده است. از آنجایی که نتایج حاصل از آنالیزهای ایزوتوپی نمونه‌های چاه‌های C، B و X، منشأ مشترک و سن مشترک (تریاس) هیدرورکربن‌ها را بیان می‌دارد، آنچه به استناد نتایج حاصل از سایر آنالیزها در این طرح مطالعاتی مسلم گشته است، این است که بخشی از مواد هیدرورکربنی موجود در سازند کنگان در محدوده چاه C (نه محتویات مخزن)، به صورت برجا تولید شده است و مهاجرتی (نابرجا) نیستند و مواد هیدرورکربنی موجود در محدوده چاه B (نه محتویات مخزن) نیز از میان لایه‌های سازند کنگان، سبب آلوده‌شدن این محدوده از مواد هیدرورکربنی شده است (شکل‌های ۲۰ و ۲۱).

تقدیر و تشکر

از شرکت نفت و گاز پارس به دلیل حمایت‌های مادی و معنوی و همچنین آقایان دکتر محمد رضا کمالی (پژوهشگاه صنعت نفت) و دکتر احمد رضا رباني (دانشگاه صنعتی امیرکبیر) در انجام این پژوهه سپاس‌گزاری می‌شود.

از ۱ (C29/C30<1)، همگی نشان می‌دهند که مواد آلی موجود در لایه کنگان (نه گازها و میعانات محتویات مخزن) منشأ دریایی با اندکی آثار ورودی از خشکی داشته و لیتلوزی مولد آنها کلاستیک-کمی کربناته بوده است. بر اساس پارامترهای S/S+R استرانهای Ts/Ts+Tm و هوپانها، مواد آلی تولید شده در ابتدای پنجره نفت‌زایی قرار دارند که با نتایج حاصل از آنالیزهای چاه‌های C و B کاملاً هم خوانی دارد. بنابراین لایه‌های سازند کنگان در چاه‌های C، B و X در محدوده میدان تحت مطالعه با یکدیگر ارتباط دارند و همان‌طور که گفته شد با توجه به شباهت‌های یکسان خصوصیات شیمیایی مواد آلی این سازند در سه چاه یاد شده، سیستم تغذیه‌ای مشابه دارند.

نتیجه‌گیری

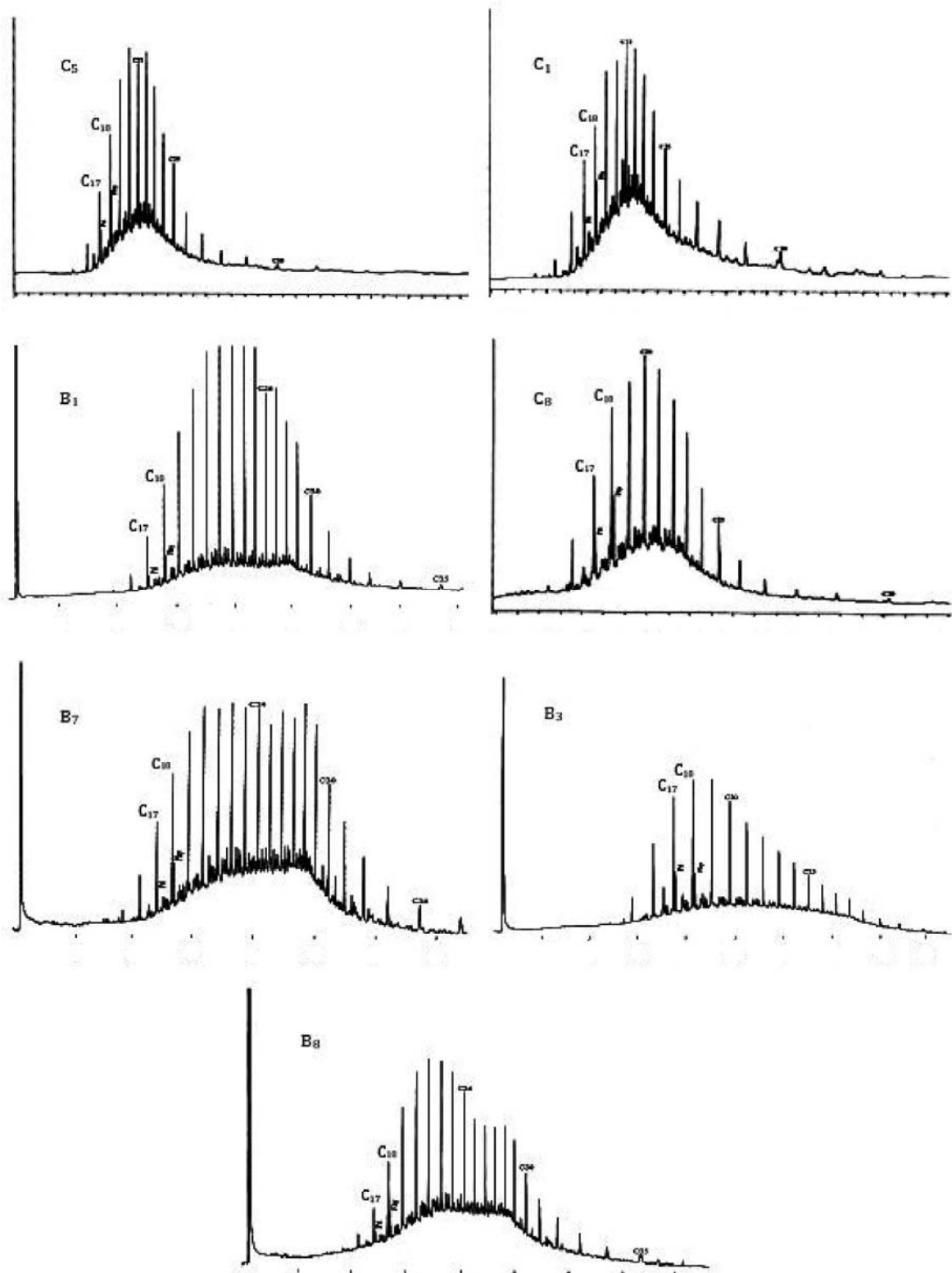
بر اساس نتایج حاصل از آنالیزهای ژئوشیمیایی روی نمونه‌های هیدرورکربنی تهیه شده از مغزه‌های چاه‌های C و B، مربوط به سازند کنگان در میدان پارس جنوبی و مقایسه آنها با یکدیگر به منظور تطابق ژئوشیمیایی می‌توان چنین نتیجه‌گیری کرد:

- میزان بلوغ مواد آلی نمونه‌ها، در اواخر مرحله دیاژنز-ابتدا مرحله کاتاژنز و به عبارتی شروع پنجره نفت‌زایی می‌باشد.
- منشأ مواد آلی نمونه‌های چاه‌های C و B، بیشتر از نوع دریایی با اندکی ورودی‌هایی از خشکی بوده و نوع کروزن آنها مخلوطی از انواع II و III می‌باشد.
- مجموعه نمونه‌ها در محیطی احیایی-نیمه‌احیایی راسب شده و لیتلوزی سنگ(های) مولد احتمالی آنها کلاستیک-جزئی کربناته بوده است و پدیده تخریب حیاتی در نمونه‌ها مشاهده نمی‌شود.

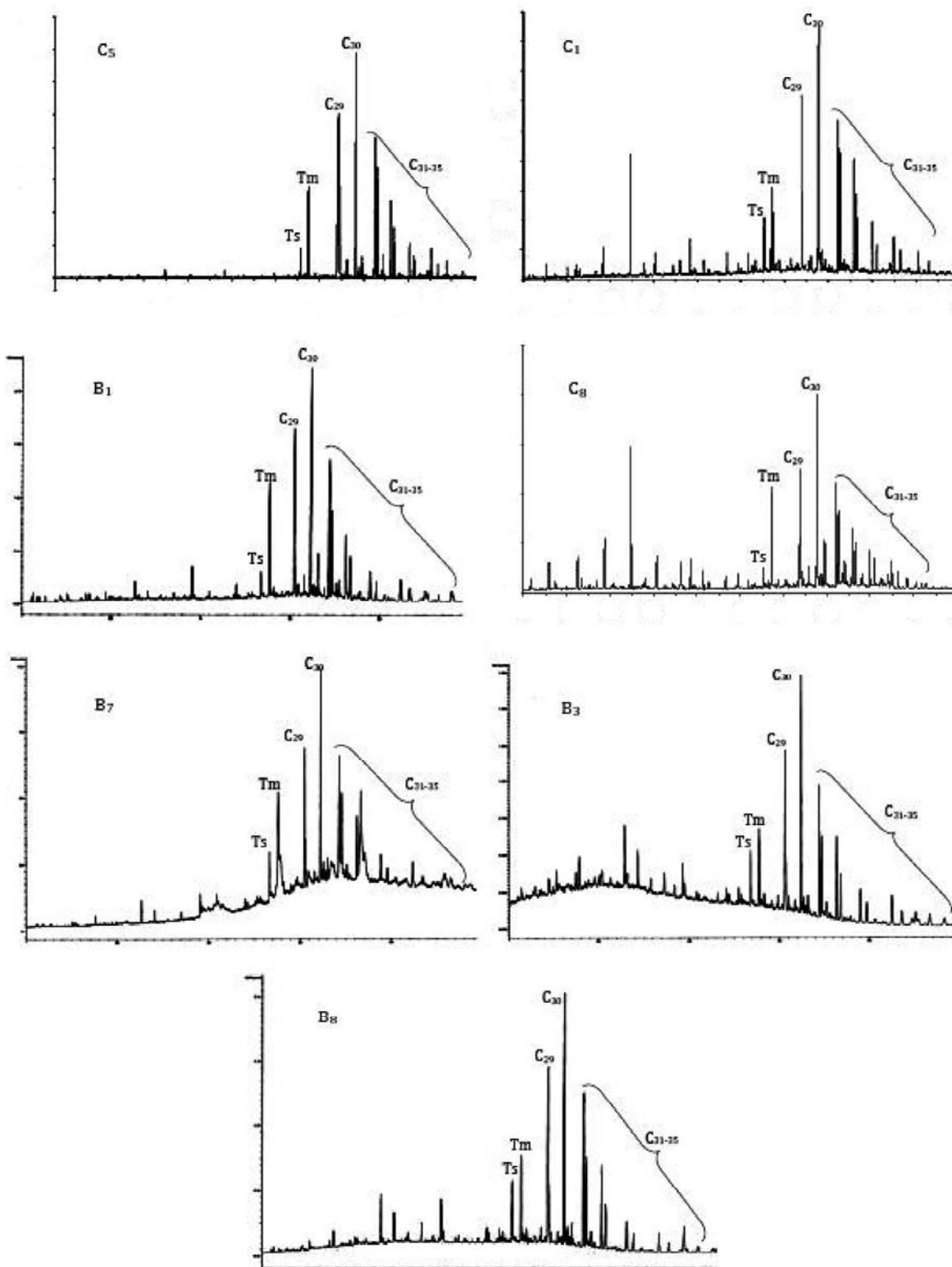
- نمونه‌های چاه C، از لحاظ غنای مواد آلی و پتانسیل هیدرورکربنی فقیر تا متوسط و نمونه‌های چاه B از این حیث فقیر می‌باشند.
- مواد آلی نمونه‌های چاه C، خصوصیاتی پارافینیک-نفتینیک و نفتینیک و کیفیت نمونه‌های چاه B، پارافینیک-نفتینیک

پیوست‌ها

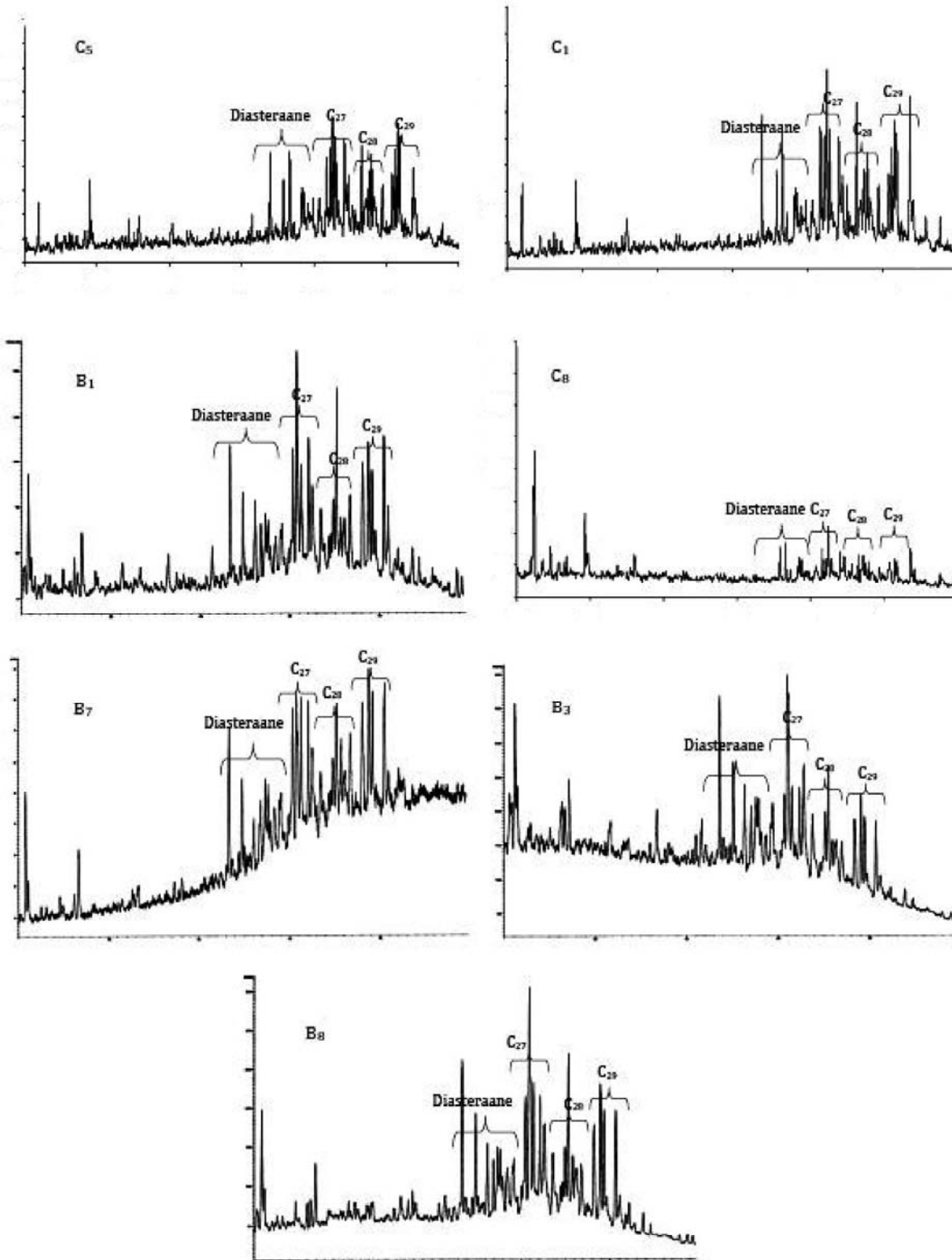
پیوست ۱- چگونگی توزیع ترکیبات اشباع حاصل از آنالیز کروماتوگرافی گازی برای نمونه‌های تهیه شده از چاههای C و B



پیوست ۲- طیف‌های حاصل از تکنیک GC-MS برای بیومارکرهای هویانها (هویانوگرام $m/z=191$) در نمونه‌های تهیه شده از چاههای C و B



پیوست ۳- طیف‌های حاصل از تکنیک GC-MS برای بیومارکرهای استران‌ها (استرانوگرام $m/z=217$) در نمونه‌های تهیه شده از جاه‌های C و B



منابع

- [1] Kashfi M.S., "Greater Persian Gulf Permian- Triassic stratigraphic nomenclature requires study", Oil and Gas Journal, Tulsa, Vol. 15, pp. 36-44, 2000.
- [2] Espitalie J., Madec M. & Tissot B., "Role of mineral matrix in kerogen pyrolysis: Influence in petroleum generation and migration", Am. Assoc. Pet. Geol. Bull., Vol. 64, pp. 59-66, 1980.
- [3] Hunt J.M., Petroleum Geochemistry and Geology: San Francisco, W.H. Freeman, 473 p., 1996.
- [4] Dahl B., Bojeson-Koefeld J., Holm A., Justwan H., Rasmussen E. & Thomson E., "A new approach to interpreting Rock-Eval S₂ and TOC for kerogen quality assessment organic geochemistry", V.V., pp. 119-157, 2004.
- [5] Tissot B.P. & Welte D.H., Petroleum formation and occurrence, 2nd Ed., Heidelberg, Springer Verlog, 538 p, 1984.
- [6] Kaufman R.L., Ahmad A.S. & Elsinger R.J., Gas chromatography as development and production tools for fingerprinting oil from individual reservoirs: application in the Gulf of Mexico in: GCSSEPM foundation with annual research conference proceeding, pp. 263-282, 1990.
- [7] Connan J. & Cassau A.M., "Properties of gas petroleum liquid derived from terrestrial kerogen at various maturation levels", Geochim.Cosmochim. Acta, Vol. 44, pp. 10-23, 1980.
- [8] Peters K.E. & Moldowen J.M. (eds), The biomarker guide: Interpreting molecular fossils in petroleum and ancient sediments, Prentice-Hall, Englewood Cliffs, 363p, 1993.
- [9] Hung W.Y. & Meinchein W.G., "Sterols as ecological indicators", geochemical et cosmochemicaActa, Vol. 43, pp. 739-745, 1979.
- [10] Chung H.M., Rooney M.A., Toon M.B. & Claypool G.E., "Carbon isotope composition of marine crude oil", AAPG, V.V, pp. 904-924, 1992.